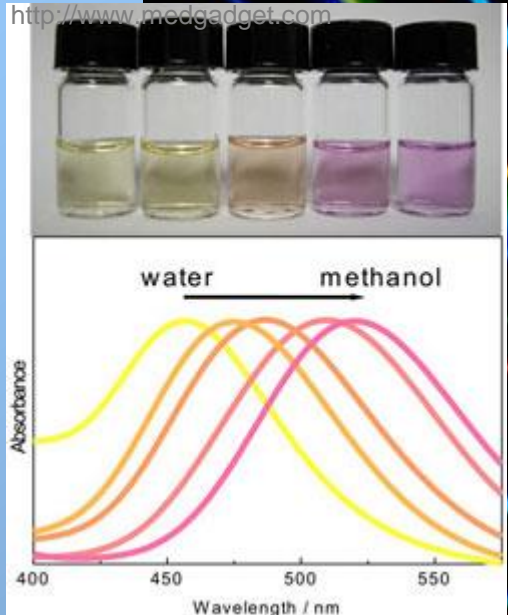


Optická spektrometrie

<http://www.modgadget.com>



Určeno k samostudiu, další distribuce vyhrazena, 2020

Vladan Bernard

Biofyzikální ústav, Lékařská fakulta MU

<http://www.pangolin.com>

Optické metody

Obecně fyzikální laboratorní metody založené na interakci vzorku s elektromagnetickým zářením, či vyzařování elektromagnetického záření vzorkem

Nespektrální metody – bez výměny energie mezi látkou a zářením, sledovány změny vlastností záření – (rychlosť záření, polarizační rovina, rozptyl, ...)

Spektrální metody – výměna energie mezi látkou a zářením

- *emisní interakce*: detekce záření emitovaného vzorkem (dodáním tepla, elektrické energie, elementárních částic ▶ nestabilní energeticky bohaté stavy ▶ emise energie)
- *absorpční interakce*: detekce absorpce záření vzorkem

Optická absorpční spektrometrie

Optická absorpční spektrometrie

- Absorpce elektromagnetického záření vzorkem
- Závislost odezvy vzorku na spektrálním složení dopadajícího elektromagnetického záření
- Odezva podmíněna strukturou energetických hladin molekul vzorku, vnějším molekulárním pohybem a mezimolekulárními interakcemi
- Kvalitativní analýza vzorku dle vyhodnocení průběhu absorpčních spekter a polohy jednotlivých absorpčních maxim (λ)
- Kvantitativní analýza vzorku dle „výšky signálu“ absorpčních maxim, hodnoty absorbance

Elementární znalosti středoškolské optiky

Pole elektromagnetického záření:

- superpozice rovinných harmonických vln vektorů pole (složka elektrická a magnetická)
- soubor elementárních částic pole – fotony

Charakteristika elektromagnetického záření:

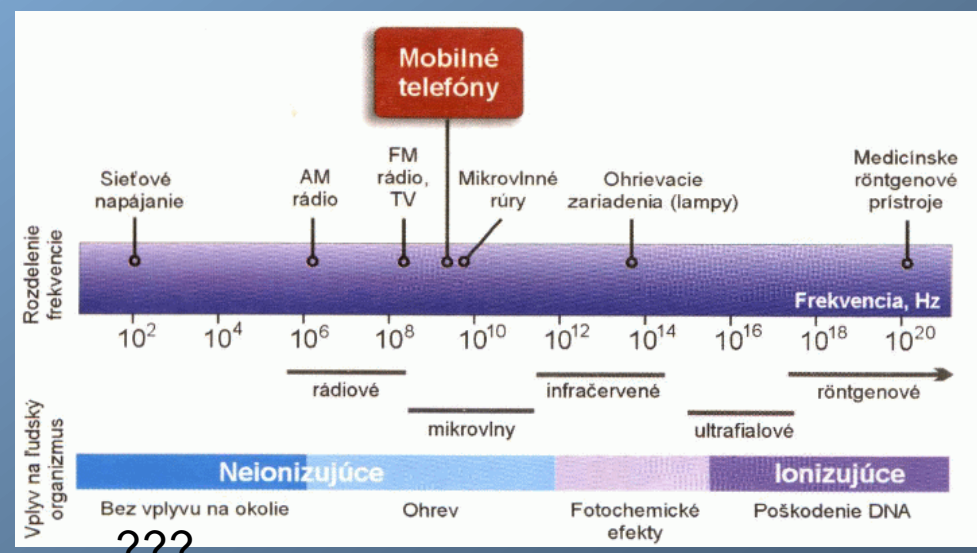
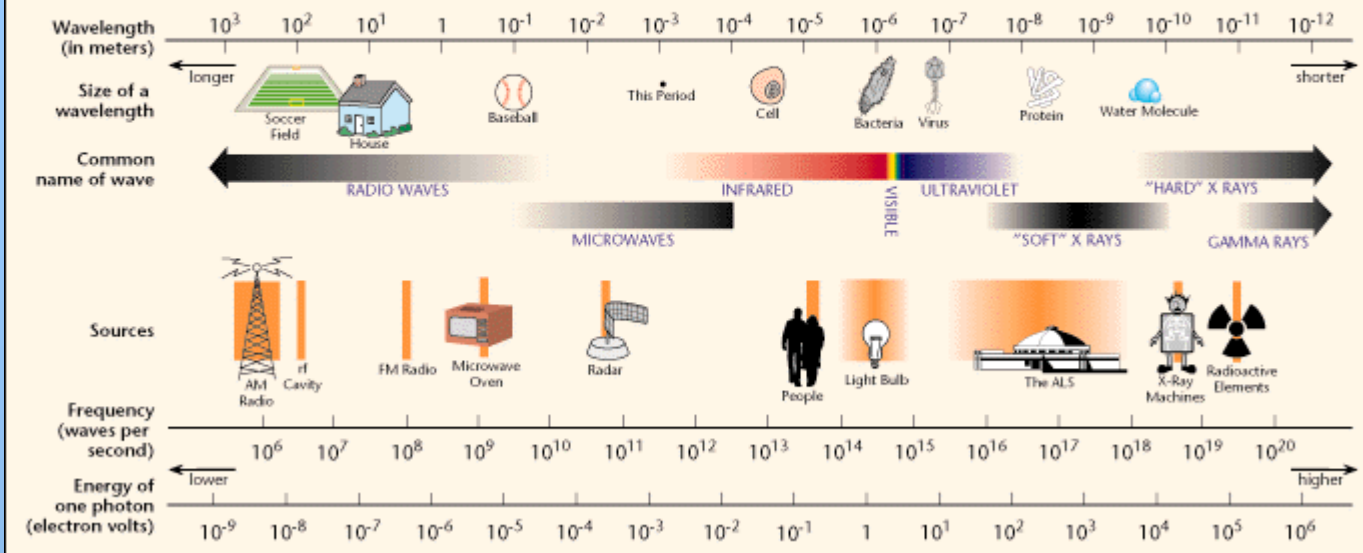
- frekvence f
- vlnová délka λ
- fázová rychlosť v ($v = \lambda \cdot f$)
- energie fotonu E_p ($E_p = h \cdot f$), h - Planckova konstanta

Elektromagnetická vlna

$$u = U_m \cdot \sin 2\pi \left(\frac{t}{T} - \frac{x}{\lambda} \right)$$

u - okamžitá hodnota velikosti vektoru, U_m - amplituda vektoru, t - čas šíření, T - perioda, x - vzdálenost od zdroje, λ - vlnová délka

THE ELECTROMAGNETIC SPECTRUM



Elementární znalosti středoškolské optiky

Fázová rychlosť elektromagnetické vlny v , $v = \frac{1}{\sqrt{\epsilon\mu}}$

ϵ - permitivita prostředí, μ - permeabilita prostředí

- Index lomu n , $n = \frac{c}{v}$

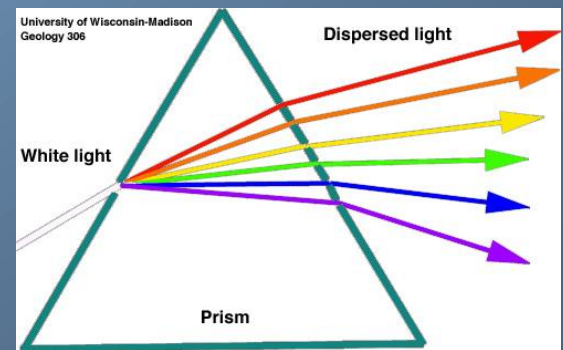
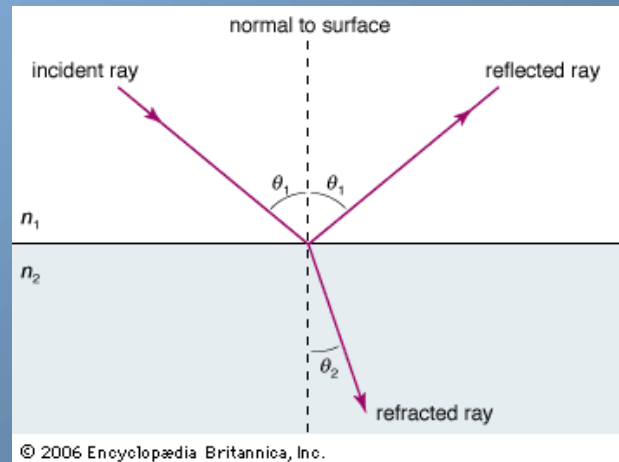
v - rychlosť světla v daném prostředí

- Zákon odrazu $a=a'$
- Snellův zákon lomu $n_1 \cdot \sin \alpha = n_2 \cdot \sin \beta$
- Rychlosť světla ve vakuu c , $c=299\ 792\ 458\ m \cdot s^{-1}$

- Disperze - index lomu n klesá u normální disperze s vlnovou délkou dle Cauchyova disperzního vzorce:

$$n = A + \frac{B}{\lambda^2} \quad A, B \text{ materiálové konstanty}$$

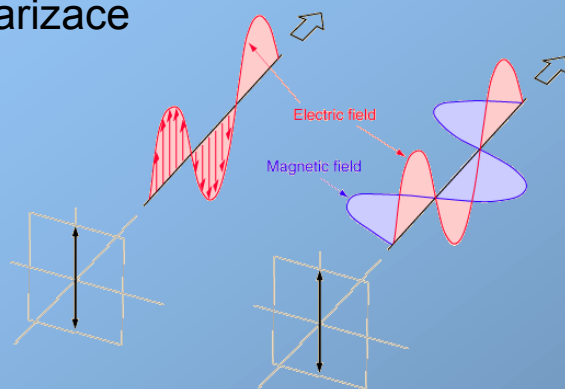
- Polarizace



Polarizace elektromagnetické vlny

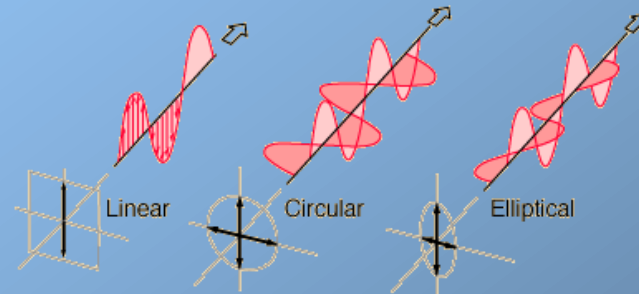
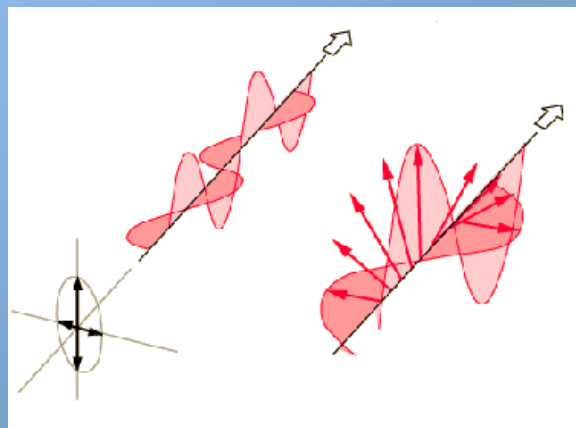
Polarizace elektromagnetického záření – geometrie kmitů vektorů elektromagnetického pole

- lineární polarizace

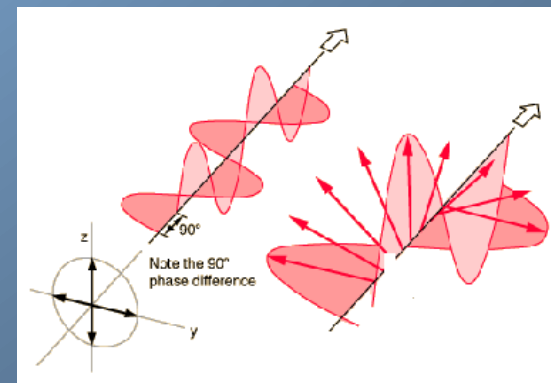


<http://micro.magnet.fsu.edu/primer/java/polarizedlight/waveform3d/index.html>

- eliptická polarizace



- cirkulární polarizace



Rotace vektoru elektrického pole
a jeho komponenty v ose x a y

Absorpční spektrometrie

Děljení: elektronová (VIS, UV) absorpční spektrometrie – $\lambda < 1 \mu\text{m}$
vibrační (IF) absorpční spektrometrie – nejčastěji λ od $3 \mu\text{m}$ do $25 \mu\text{m}$ (celé spektrum $1 \mu\text{m}$ až $1000 \mu\text{m}$)

Průchodem elektromagnetické vlny prostředím dochází k snižování její intenzity.

Velikost útlumu monochromatické vlny charakterizuje **absorbance A**.

I_{λ_0} je počáteční hodnota intenzity elmag. vlny, I_{λ} je velikost intenzity elmag. vlny po průchodu látkou

$$A_{\lambda} = \log \frac{I_{\lambda_0}}{I_{\lambda}}$$

Závislost absorbance A_{λ} na uražené dráze x elmag. vlny v prostředí popisuje

LAMBERTUV zákon: $A_{\lambda} = b_{\lambda} \cdot x$, kde b_{λ} je absorpční (extinkční) koeficient

Lambertův zákon (LZ) platí pro jednofotonovou absorpci v látkách, u nichž procházející záření nenarušuje původní termodynamickou rovnováhu. Možné odchylky od LZ u biologických materiálů způsobeny např. fotochemickými reakcemi, zvýšením teploty, aktivací chemických reakcí a pod.

Koncentrační závislost absorpčního koeficientu b popisuje BEERUV zákon (BZ): $b = \epsilon \cdot c$, kde ϵ je molární absorpční (extinkční) koeficient, charakterizující absorbuje látku.

Symbol c zastupuje molární koncentraci roztoku.

Spojením LZ a BZ: **LAMBERT-BEERUV zákon** $A_{\lambda} = \epsilon_{\lambda} \cdot x \cdot c$

Měření absorpčních spekter – měření propustnosti

- Transmitance (propustnost elektromagnetického vlnění vzorkem)

$$T: \quad T_\lambda = \frac{I_\lambda}{I_{\lambda o}}$$

- Úpravou vztahu pro absorbanci, dostáváme vztah pro T: $T_\lambda = 10^{-\varepsilon_\lambda \cdot x \cdot c}$

- Relativní transmitance T_{rel} : $T_{rel\lambda} = \frac{I_{v\lambda}}{I_{ref\lambda}}$

Kde $I_{v\lambda}$ je intenzita elmag. vlny vystupující ze vzorku a $I_{ref\lambda}$ je intenzita elmag. vlny vystupující z čistého rozpouštědla.

Interakce elektromagnetické vlny s prostředím

- Energie fotonů se může při interakci s molekulou látky transformovat na energii **přechodu elektronu** na vyšší energetickou hladinu, na energii přechodu mezi dvěma **vibračními stavy** či energii přechodu mezi **stavy rotačními**.
- Absorbující atomy v molekule organické látky se nazývají **chromofory**
- Oblast IF – dochází při interakci molekul s fotony ke zvýšení jejich vibrační a rotační energie – rotačně vibrační spektra
- Oblast UV, VIS – silná absorpcie, v biol. mat. zejména bílkovinami a NK, interakce fotonů elektromagnetického záření s konjugovanými dvojnými vazbami látky
- Oblast mikrovlnného záření - interakce elektromagnetického záření s rotačními přechody molekul vykazujících permanentní dipólový moment

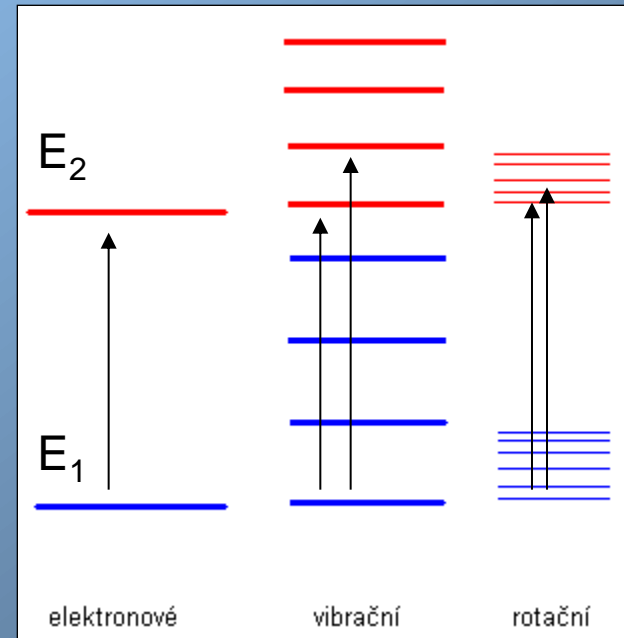
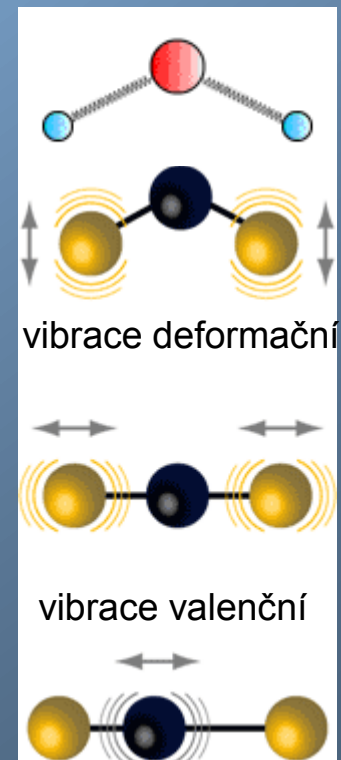


schéma přechodu elektronu při absorpci UV nebo VIS záření molekulou

Interakce elektromagnetické vlny s prostředím

Infračervená spektrometrie

- energie elektromagnetického záření pro tyto vlnové délky ($E = h \cdot f$) natolik malá, že nepostačuje při její absorpci na změny elektronových stavů molekul, dostatečná ale na změny rotačních a vibračních stavů molekul
- pásové absorpční spektrum
- rotační pohyb – rotace molekuly kolem svého těžiště, detekce u kapalin a tuhých látek obtížná
- vibrační pohyb – změna délky vazby a změna vazebného úhlu



Absorpční spektrometr

Přístroj pro měření spekter propustnosti – **absorpční spektrometr**

Část optická: zdroj záření, monochromátor, detektor, vzorková část, optické prvky

Část elektromechanická: pohyb monochromátoru, měřič signálu detektoru, výstupní a záznamová zařízení

Spektorfotometr

- jednopaprskový (spektrokolorimetr) a dvoupaprskový
- statický vzorek (kyveta) X průtočný systém
- UV, VIS, IF spektrum



Absorpční spektrometr

Zdroj elmag. záření

- tělesa rozžhavená el. proudem (wolframová či uhlíková vlákna žárovek – IR a VIS spektrum, halogenové žárovky – VIS spektrum, Nernstův hořák – žhavená keramická tyčinka světlo o 2-50 μm , deutériová lampa – UV oblast)
- výbojky (čárové i spojité spektrum)

Speciální spektroskopické metody využívají také elmag. synchrotronové záření (vznik při pohybu nabité částice, spojité spektrum v UV oblasti)

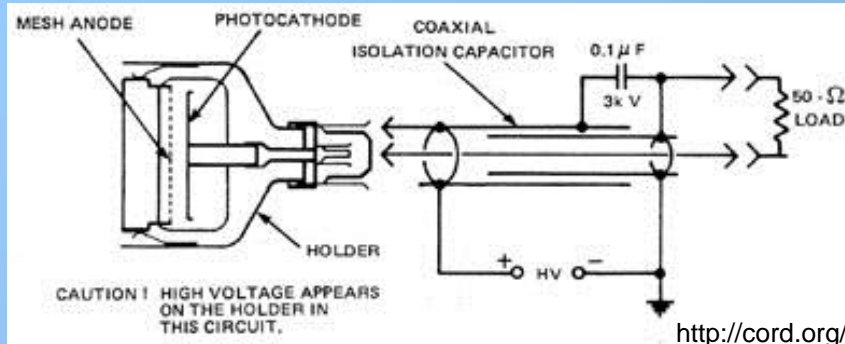
Monochromátor

- vstupní štěrbina
- disperzní prvek (hranol, mřížka), rozptyl záření dle λ , natáčecí element
- výstupní štěrbina (výstup záření o konkrétní λ)

Detektor záření (podmínky: spektrální citlivost, poměr mezi signálem a šumem, linearita odezvy, časová odezva, ...)

- termální detektory (široká spektrální citlivost, dopadající energie elmag. záření způsobuje teplotní změnu detektoru – termočlánek, termistor, bolometr, Golayova cela – změna objemu plynu, pyroelektrický jev – změna rozložení náboje)
- polovodičové detektory (fotovoltaický článek, polovodičová fotodioda)
- fotoemisní detektory (založeny na vnějším fotoelektrickém jevu, vakuová fotodioda, fotonásobiče)

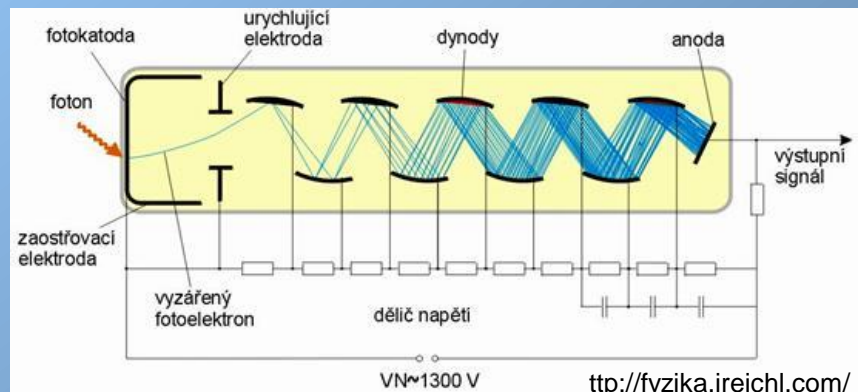
Vakuová fotodioda



Dopadající fotony způsobují uvolňování elektronů z katody do vakuua a jejich dopad na anodu – vznik přepětí



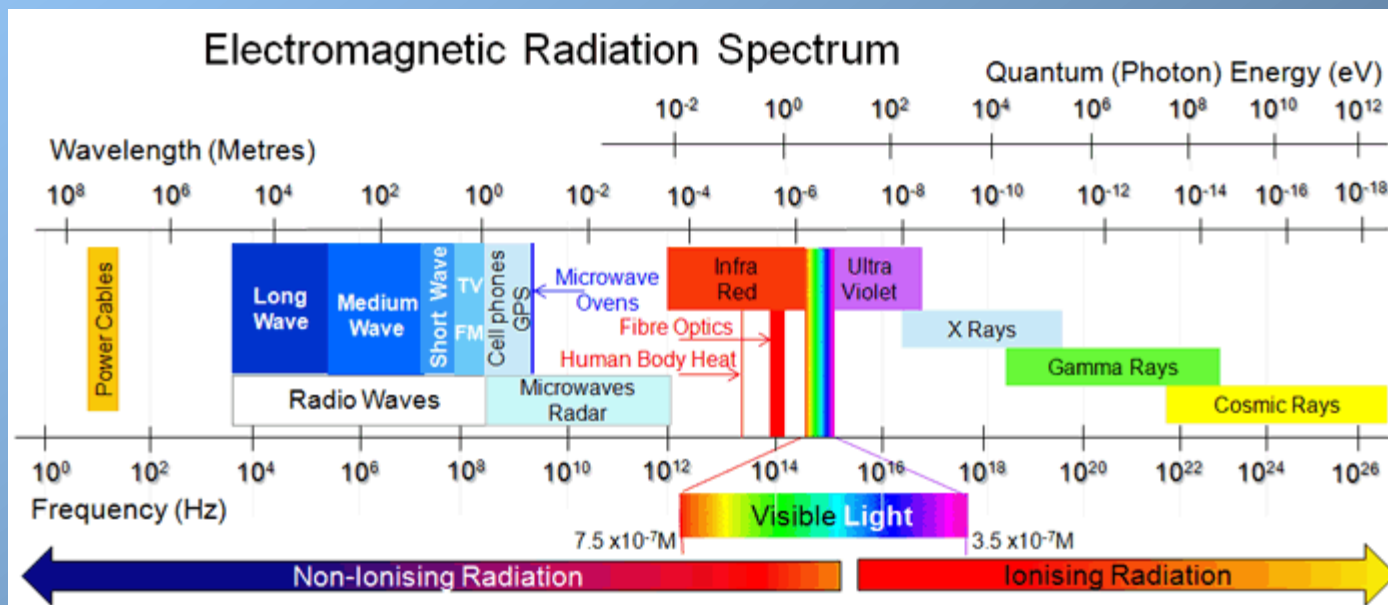
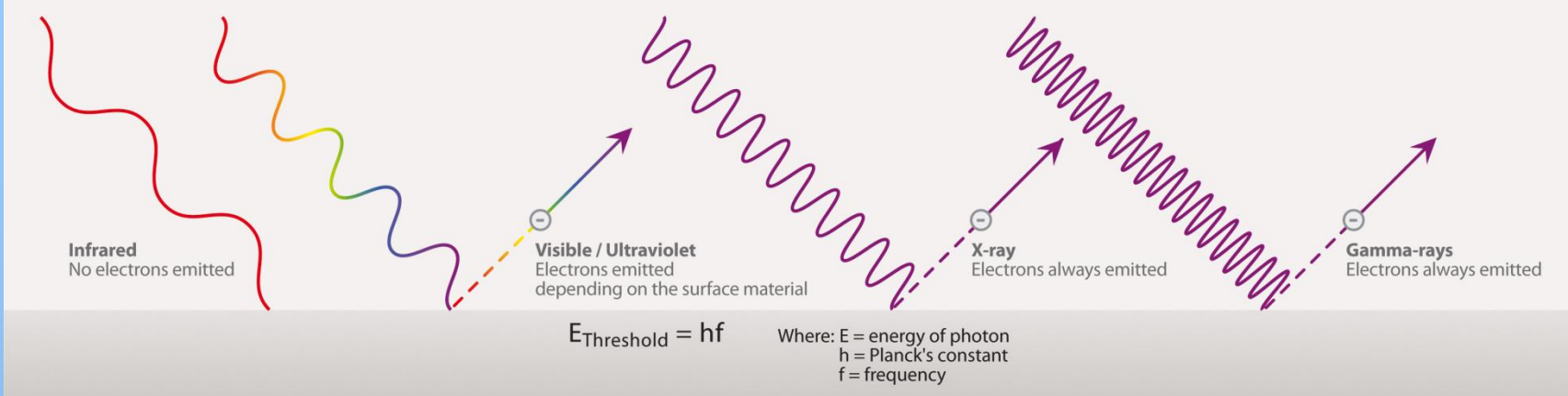
Fotonásobič



Emise elektronů na fotokatodě po dopadu fotonu díky fotoelektrickému jevu, urychlení elektronu elektrickým polem a jeho dopad na dynodu o vysokém kladném potenciálu, sekundární emise elektronů z dynody, ..., dopad elektronů na anodu



Photoelectric effect



Absorpční spektrometr

Kyvety

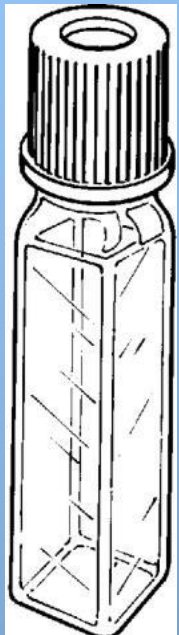
- dle objemu a „tloušťky“ obsaženého vzorku ($V>3\text{ml}$, $V<3\text{ml}$, mikrokyvety)
- dle použitého materiálu (sklo VIS, křemenné sklo UV, chlorid sodný IF, polystyren, ...)
- dle spektrální propustnosti
- dle typu vzorků

Příslušenství

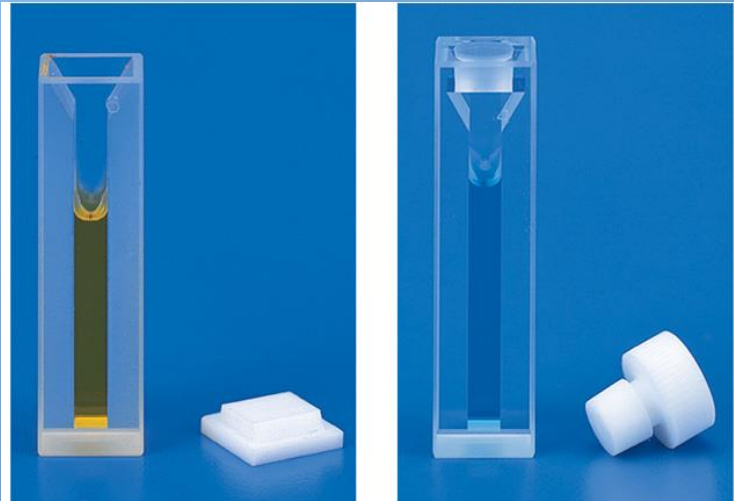
- držáky kyvet (cilindrické, mikrokyvety, průtočné kyvety ...)
- termostatované kyvety
- měniče a podavače kyvet
- „Sippery“ - ze software spektrometru řízený systém peristaltické pumpy pro průtočnou kyvetu
- modul integrační koule - umožňuje měření sypkých, pastových a zakalených vzorků
- kalibrační zdroje
- software
- záznamová paměť, vstupy a výstupy



220-900 nm spektrální
rozsah, 70 µL, analýza
DNA, proteiny



3,5 ml, těkavé materiály

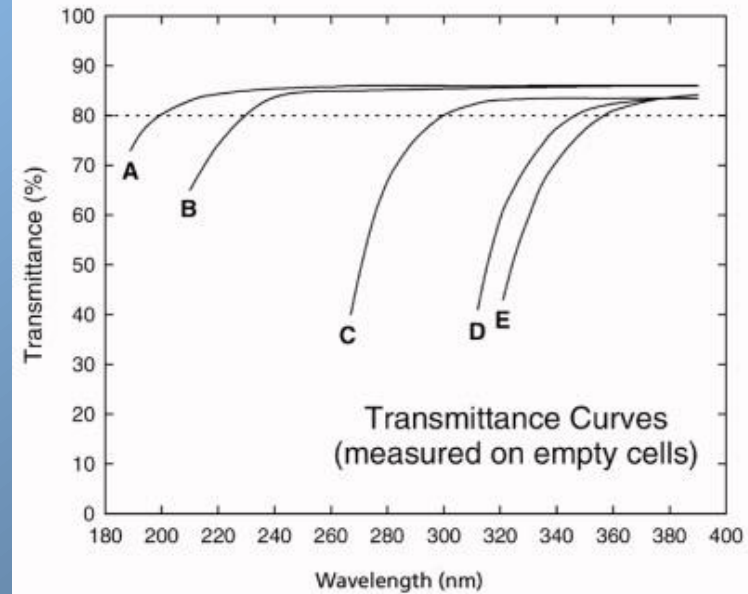


0,75 ml, mikrokyveta

Cuvets

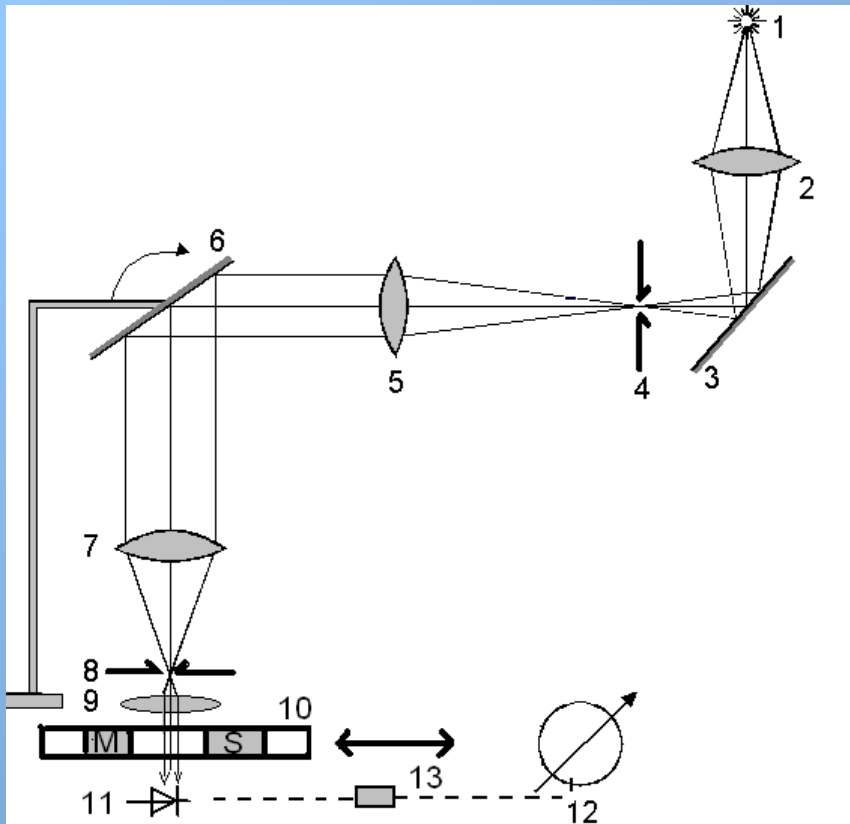
Cuvets are generally considered useful at wavelengths where their transmittance is 80% or greater using an empty cell. Cells filled with distilled water theoretically give transmittance values up to 8% higher because reflective losses are minimized.

Unless otherwise indicated, outside dimensions are 12.5 x 12.5 x 45 mm, and path length is 10 mm. Cuvets are sold singly, not in pairs. Modern precision manufacturing methods make pre-matching unnecessary.



Spektrální transmitance

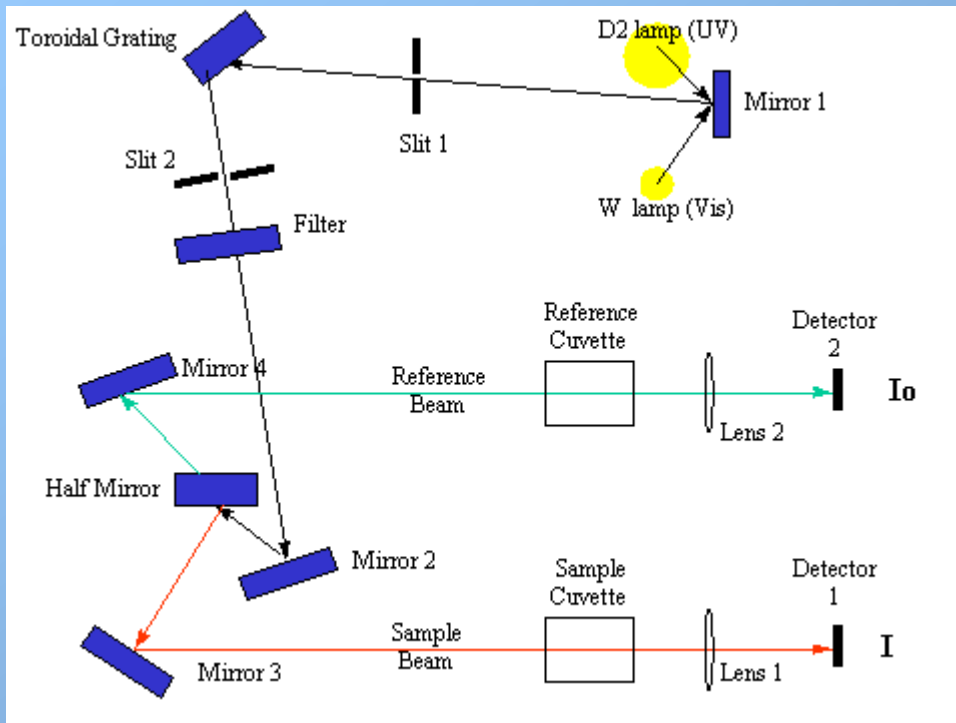
Spektrofotometr jednopaprskový- SPEKOL 11



- 1- zdroj elmag. Záření
- 2- kondenzátor
- 3- zrcadlo
- 4- vstupní štěrbina
- 5- kolimátor
- 6- mřížka monochromátoru (změna λ)
- 7- kolimátor
- 8- výstupní štěrbina
- 9- kolimátor
- 10- pohyblivý držák kyvet
- M- měřený vzorek
- S- srovnávací vzorek
- 11- vakuová fotonka (detektor)
- 12- měřič signálu, display
- 13- zesilovač signálu



U-2001 UV/Visible Spectrophotometer

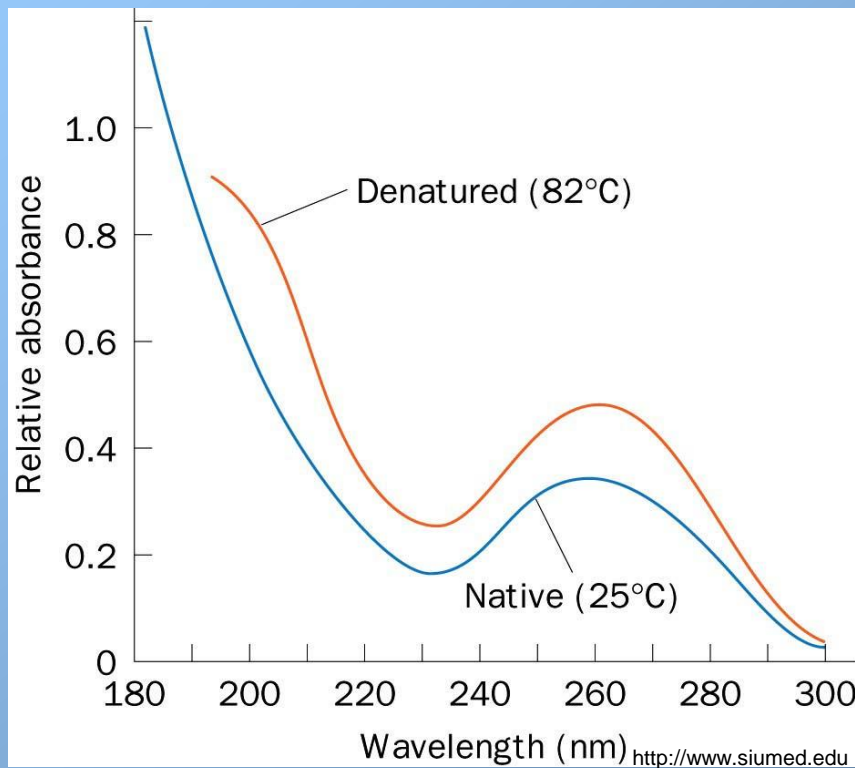


Dvoupaprskový spektrometr,
deuteriový a wolframový zdroj

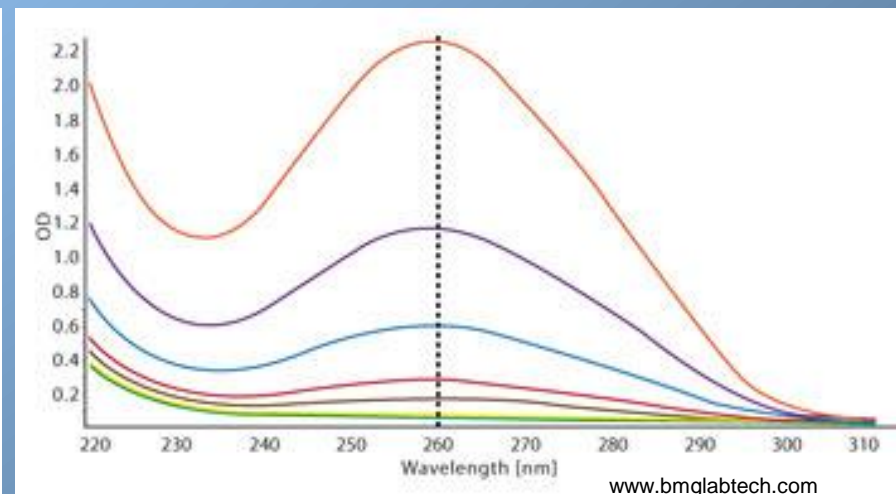
Průchod elektromagnetického záření přes kyvetu s měřeným vzorkem i kyvetu s referenčním vzorkem

Praktická laboratorní aplikace

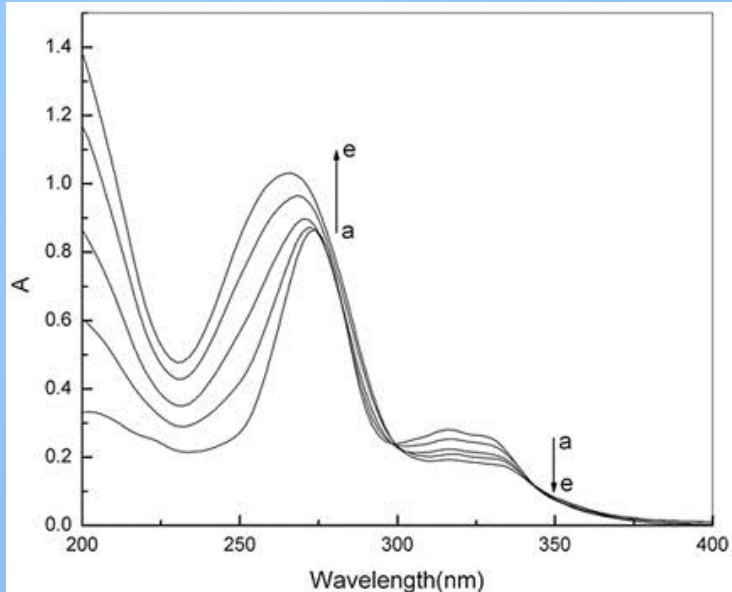
Stanovení koncentrací analyzovaných látek a jejich fyziologického stavu



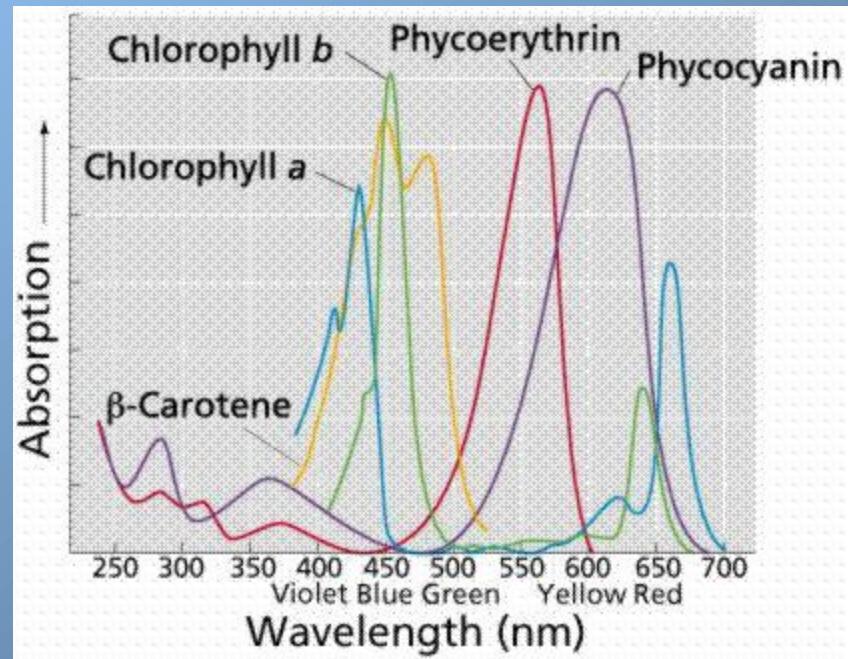
Absorpční křivky DNA v závislosti na fyziologickém stavu



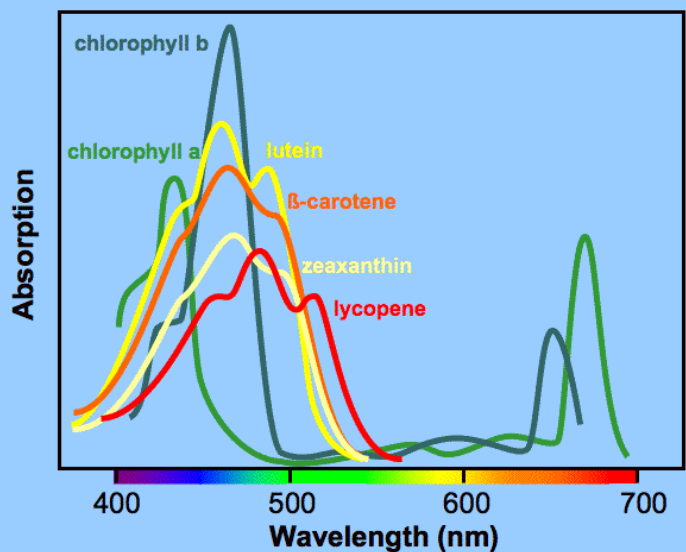
Absorpční křivky telecí thymové DNA o různé koncentraci



UV/Vis absorption spectra of 1.5×10^{-5} M CFX and different concentrations of DNA (a) 0 M (b) 1.0×10^{-5} M (c) 2.0×10^{-5} M (d) 3.0×10^{-5} M (e) 4.0×10^{-5} M . Yuejuan Cai et al. ,Frontiers in Bioscience 12, January 1, 2007

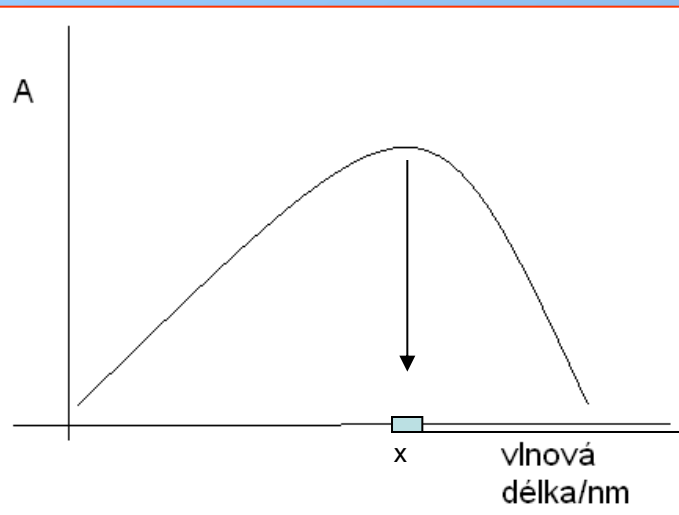


The photosynthetic pigments absorb much of the spectrum



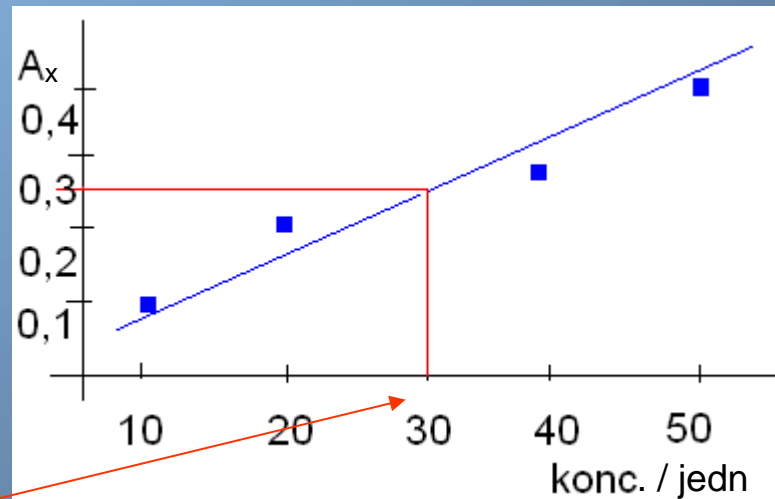
Absorpční spektra pigmentů

Stanovení neznámé koncentrace roztoku pomocí kalibrační křivky a absorpcní spektometrie



1) Stanovení vlnové délky pro absorpční maximum

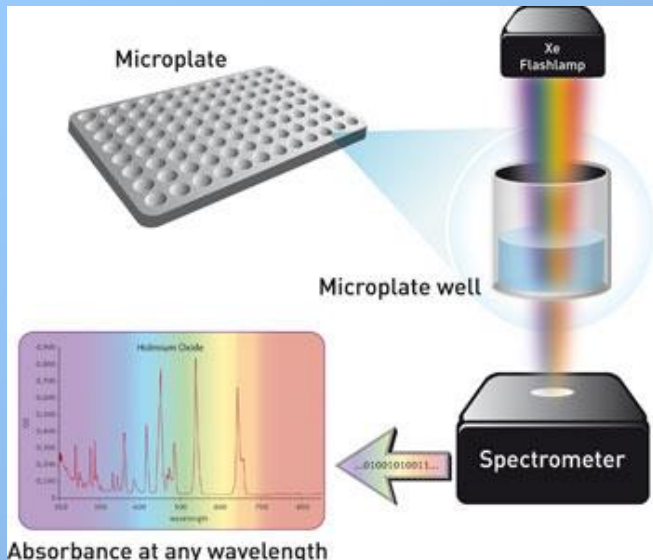
2) Vytvoření kalibrační křivky- závislost hodnoty absorpce na koncentraci roztoku



Neznámá koncentrace

3) Odečtení hodnoty neznámé koncentrace vzorku

Další využití absorpční spektrometrie



testy
buněčných
kultur,
reakčních
směsí,
roztoků, ...

oximetrie

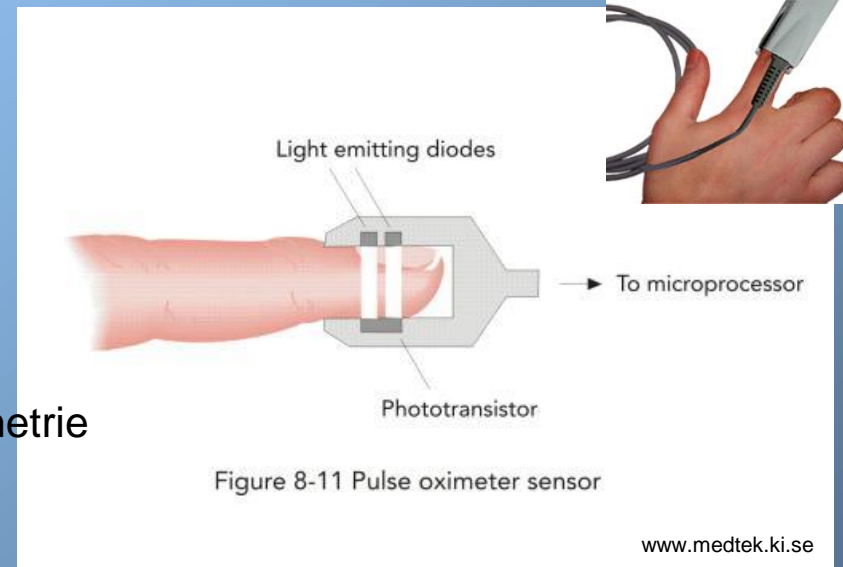


Figure 8-11 Pulse oximeter sensor

www.medtek.ki.se

Testy buněčných kultur, ... - měření absorpcie světla ve vzorcích umístěných v jednotlivých jamkách kultivačních destiček (spektrální analýza, koncentrační analýza, ...)

Oximetrie - využívá principu rozdílné absorpcie světla molekulou oxyhemoglobinu a deoxyhemoglobinu (max. 660 nm a 920 nm). Pulzní oxymetr měří změny v intenzitě světla dvou vlnových délek během arteriální systoly a diastoly. Hodnoty jsou uváděny v procentech saturace kyslíkem ($\text{SpO}_2 = 100 \times \text{oxyhemoglobin} / (\text{oxyhemoglobin} + \text{deoxyhemoglobin})$). Pozor na lakování o rozličné ozdoby nehtů, falešné hodnoty!

Další využití absorpční spektrometrie

Indikátorová diluční metoda

metoda pro zjištění průtoku tekutin (zejména krve) pomocí nástřiku barviva a stanovení jeho přítomnosti v čase v průtokové kyvetě – hodnocení minutového srdečního výdeje

Pletysmografická Peňázova metoda

metoda pro nepřímé měření krevního tlaku. Podstatou metody je průchod elektromagnetického záření prstem vyšetřované osoby. Při tlakové pulsaci krve se mění i objem tkáně a tím i hodnota absorpce. Vhodným tlakem v manžetě jsme schopni kompenzovat systolický a diastolický tlak krve – nulová změna hodnoty absorpce

Stanovení bilirubinu v krvi

metoda stanovení bilirubinu v krvi založena na absorpci elektromagnetické vlny o vhodné vlnové délce krví, v případě např. sloučeniny azobilirubinu při 570 nm

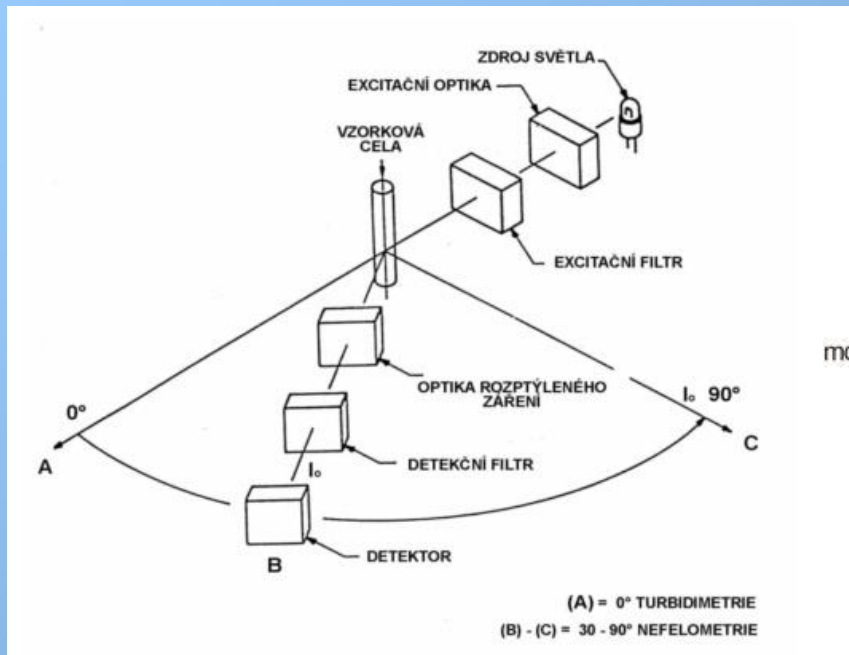
Venózně okluzní objemová pletysmografie

metoda sloužící k vyšetření změn prokrvení prstů končetin v závislosti na teplotě prostředí. Provádí se obdobně jako oximetrie, změna toku krve je provázena změnou hodnoty absorpce procházejícího elektromagnetického záření

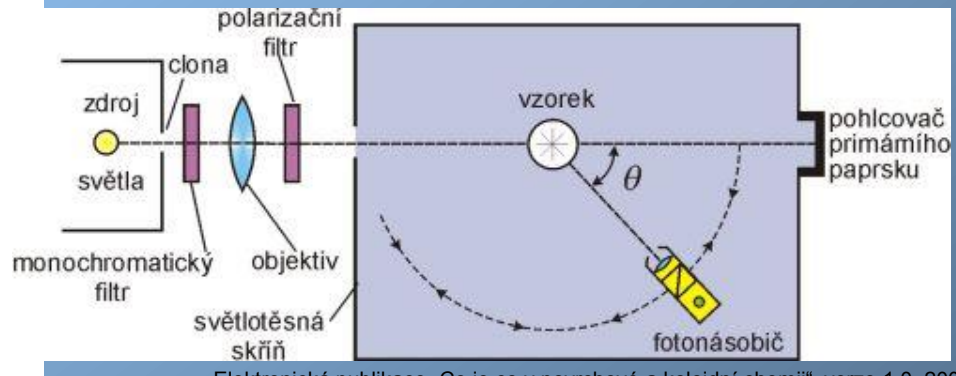
Nefelometrie a turbidimetrie

- optické metody využívající rozptylu světla heterogenními částicemi v suspenzích a koloidních roztocích
- **nefelometrie** je nejčastěji využívána pro nižší koncentrace rozptýlených částic, detekce intenzity rozptýleného záření nejčastěji ve směru kolmém na vstupující paprsek, využívá Tyndallův jev
- **turbidimetrie** je vhodná pro vyšší koncentrace rozptýlených částic, detektor umístěn v ose paprsku, detekce intenzity záření prošlého disperzním vzorkem a ochuzeného o rozptýlenou složku, stanovení tzv. Turbidance – A_T – stupeň zákalu
- vhodné metody ke stanovení např. proteinů v séru, znečištění vzduchu a kapalin pevnými částicemi a pod.
- Tyndallův jev – při částicích disperzního podílu větších než 5 nm, lze pozorovat rozptyl světla – např. světelný kužel při průchodu světelného paprsku roztokem

Nefelometrie a turbidimetrie



pracovní schéma turbidimetrie a nefelometrie

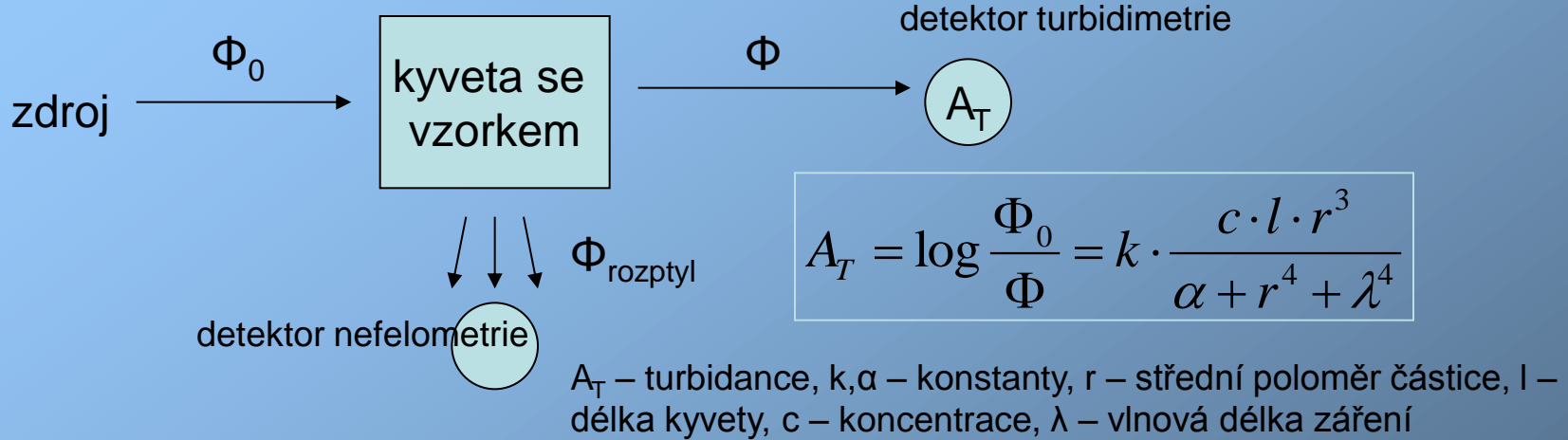


Elektronická publikace „Co je co v povrchové a koloidní chemii“, verze 1.0, 2005

Jednotky kalnosti:

NTU – nefelometrická jednotka kalnosti, FTU – formazinová jednotka kalnosti (standard),
NFU – nefelometrická formazinová jednotka

Turbidimetrie



- citlivost turbidimetrie je nepřímo úměrná zvolené vlnové délce, proto je vhodné zvolit co nejkratší vlnové délky zdroje záření – nutnost monochromatičnosti
- ve zředěných disperzích (roztocích) je přechod mezi absorpční fotometrií a turbidimetrií neostrý, a proto lze měřenou veličinu A_T , jíž odpovídá v absorpční fotometru A u klasické absorpční fotometrie (absorbance), vyjádřit vztahem

$$A_T = (e + T) \cdot c \cdot l,$$

kde: e - absorpční koeficient, T - turbiditní koeficient, c - koncentrace, l - světelná dráha (tloušťka) měřící kyvety

Nefelometrie

- měření intenzity rozptýleného „Tyndallova“ světla na dispergovaných částicích



- zdrojem světla je nejčastěji halogenová a xenonová výbojka či laser
- k měření využívám nefelometrický nástavec fotometru či nefelometr
- vlnová délka difúzně rozptýleného záření a záření zdroje je stejná, i když v malém rozsahu dochází na částicích k emisi záření o delší vlnové délce
- optimální poměr mezi vlnovou délkou záření monochromatického zdroje a poloměrem částic je 10:1
- příkladem aplikace nefelometrie v přírodních vědách je stanovení jednotlivých plazmatických bílkovin či komplexů antigen-protilátka, čistota ovzduší ...
- závislost odezvy nefelometru na koncentraci stanované bílkoviny je obecně nelineární. Jde většinou o polynom druhého či třetího řádu. V případě vhodně zvolených podmínek je možno závislost approximovat proložením přímkou. Obecně platí, že linearita měření je tím lepší, čím je koloidní disperze více naředěna nebo je menší velikost částic

Nefelometrie a turbidimetrie

Einstein-Debyeova rovnice pro rozptyl světla ... *pro zvídavé...*

$$I_\alpha = I_0 \cdot \frac{4\pi^2 \cdot n_0^2 \cdot F(\alpha) \cdot w}{N_A \cdot \lambda^4 \cdot r^2 \cdot (\frac{1}{M} + 2B \cdot w + \dots)} \cdot \left(\frac{dn}{dw} \right)^2$$

I_α je intenzita světla rozptýleného objemovou jednotkou disperzní soustavy pod úhlem θ ,

I_0 celková intenzita dopadajícího (primárního) záření,

n index lomu disperzní soustavy,

n_0 index lomu čistého disperzního prostředí,

w hmotnostní koncentrace,

M molární hmotnost disperzního podílu,

λ vlnová délka primárního i rozptýleného světla,

r vzdálenost detektoru, měřícího intenzitu, od zdroje rozptýleného světla

α úhel pozorování, tj. úhel sevřený primárním paprskem a paprskem rozptýleného světla, který dopadá do detektoru,

$F(\alpha)$ je funkce úhlu pozorování, jejíž tvar závisí na charakteru primárního paprsku (pro vertikálně polarizované primární světlo $F(\alpha)=1$, při horizontální polarizaci $F(\alpha)=\cos^2\alpha$, pro nepolarizované světlo $F(\alpha)=0,5(1+\cos^2\alpha)$,

B druhý viriální koeficient - stejný jako u viriálního rozvoje pro vyjádření koncentrační závislosti osmotického tlaku

Nefelometrie a turbidimetrie

Přenosný turbidimetr (nefelometr) 2100P (Hach)

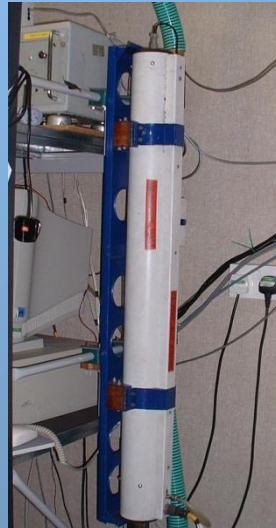


„Přesný dvoudetektorový mikroprocesorem řízený turbidimetru umožňuje skutečnou eliminaci barvy a hodí se i k měření komplikovaných barevných vzorků v terénu. Jeden detektor je umístěn pod úhlem 90° na LED zdroj světla – 860 nm, druhý detektor je přímý... Přístroj měří v automatickém modu v rozsahu 0-1000 FNU ...Kalibrace se provádí na primární formazínové standardy.“

<http://www.ekotechnika.com>



Nefelometrie a turbidimetrie



Nefelometr hodnotící kvalitu ovzduší - řídící jednotka, optické prostředí, venkovní sběrná trubice

<http://badc.nerc.ac.uk>



<http://www.zefon.com>

Ruční nefelometr pro analýzu obsahu prachových částic v ovzduší. Výrobcem deklarovaná citlivost měření je 1-10,000 $\mu\text{g}/\text{m}^3$ s rozlišením až 1 $\mu\text{g}/\text{m}^3$.

